

Fig. 4-24 50T在經過  $1500^{\circ}\text{C}/6\text{hr}/\text{Ar}$ 熱處理後之(a)m-ZrO<sub>2</sub>、t-ZrO<sub>2</sub>與 $\alpha$ -Ti共存之明視野影像(BFI);(b)m-ZrO<sub>2</sub>之EDS分析光譜;(c)m-ZrO<sub>2</sub>之SADP, Z. A. =  $[011]_{m\text{-ZrO}_2} // [001]_{t\text{-ZrO}_2}$ ; twin plane =  $(011)$  ;(d)m-ZrO<sub>2</sub>之SADP, Z. A. =  $[011]$ 。

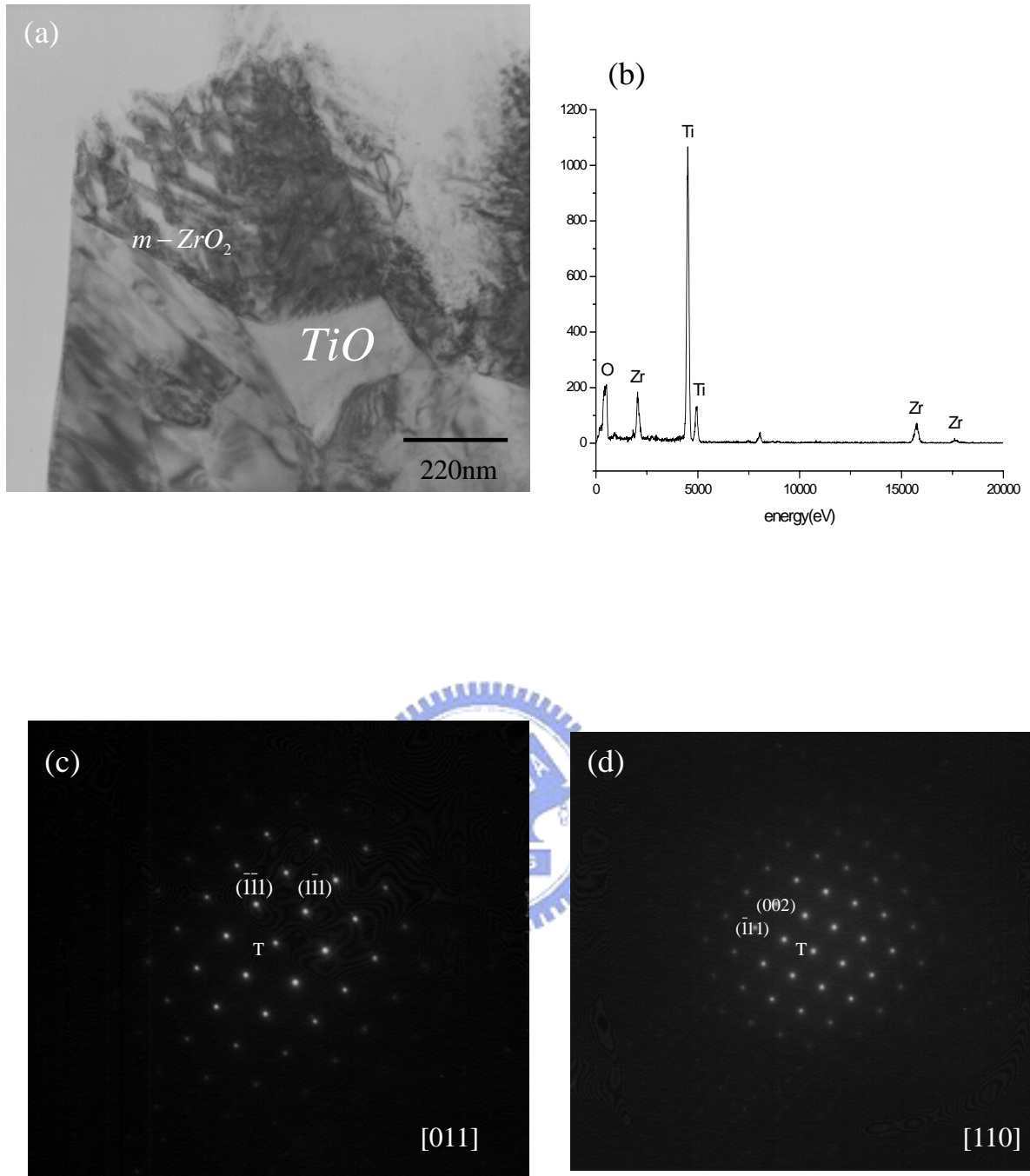


Fig. 4-25 50T在經過  $1400^\circ\text{C}/6\text{hr}/\text{Ar}$ 熱處理後之(a) $\text{TiO}$ 與 $m\text{-ZrO}_2$ 明視野影像(BFI);(b) $\text{TiO}$ 之EDS分析光譜;(c) $\text{TiO}$ 之SADP, Z. A. =  $[011]$ ; (d)  $\text{TiO}$ 之SADP, Z. A. =  $[110]$ 。

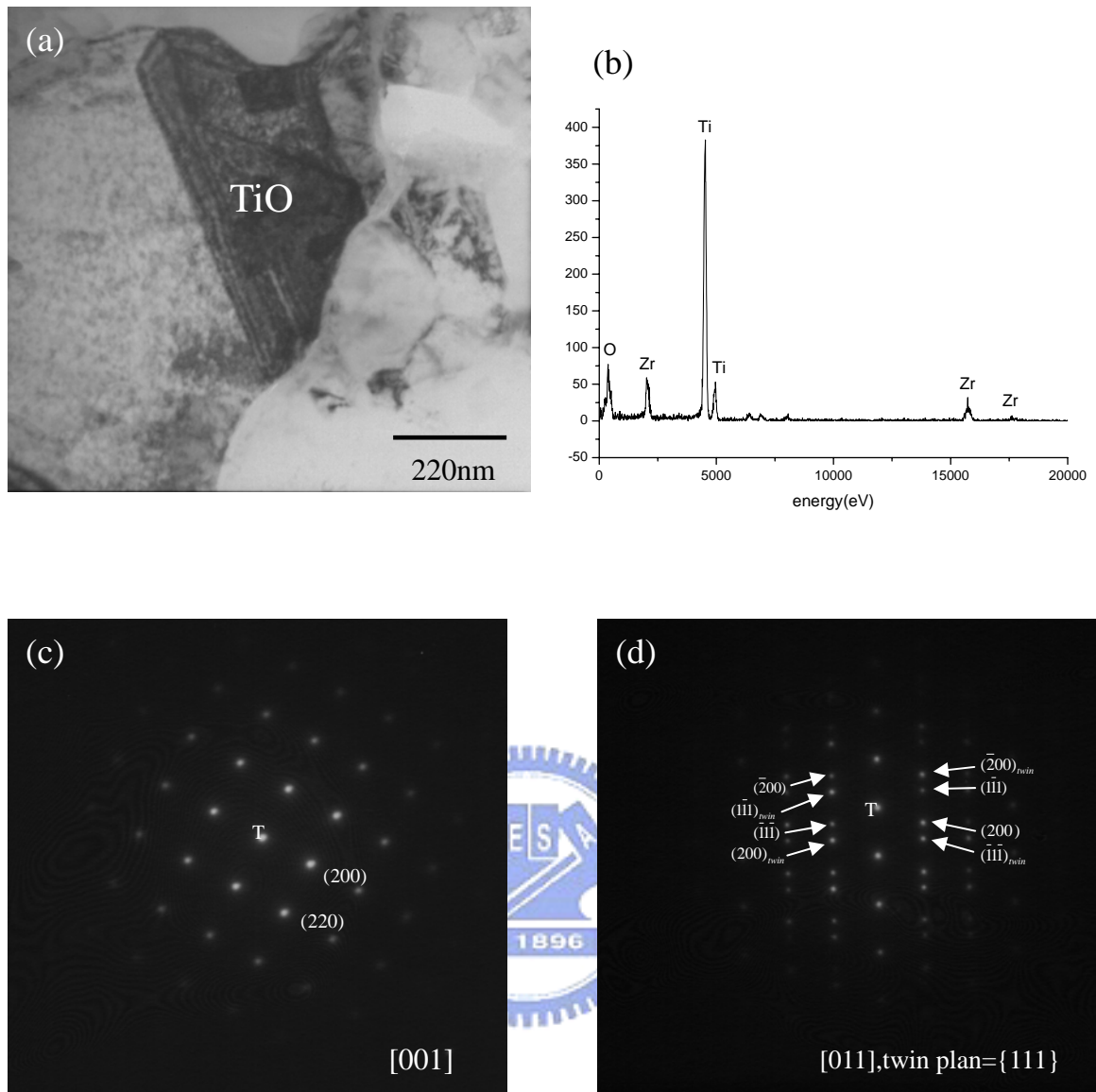


Fig. 4-26 50T 在經過 1300°C/6hr/Ar 熱處理後(a)TiO<sub>2</sub> 之明視野影像 (BFI);(b)TiO<sub>2</sub> 之 EDS 分析光譜;(c)TiO<sub>2</sub> 之 SADP, Z. A. =[001];(d) TiO<sub>2</sub> 之 SADP, Z. A. =[011], twin plane={111}。

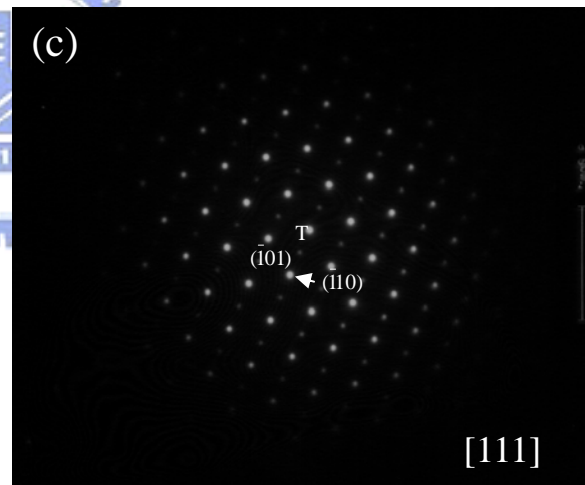
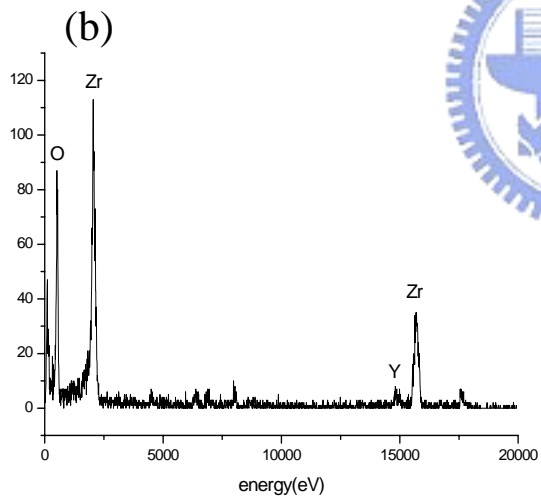
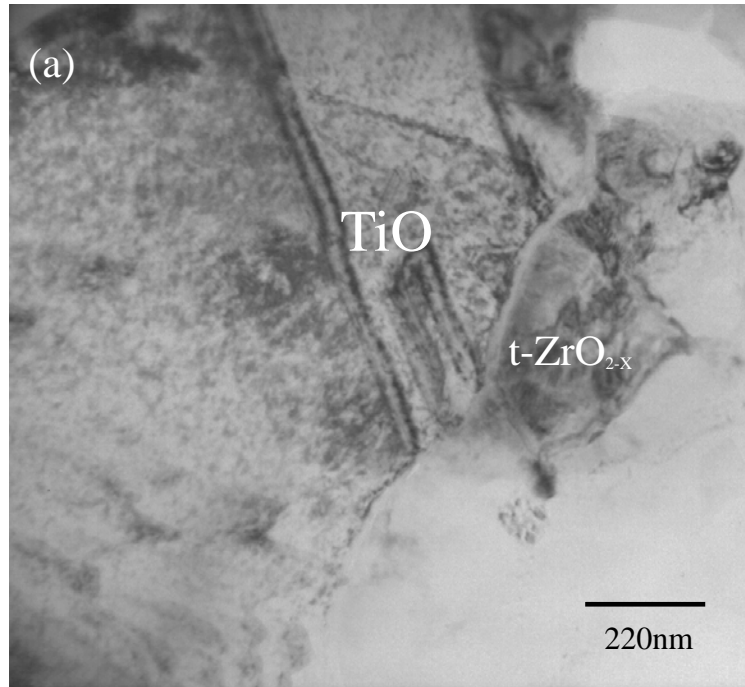


Fig. 4-27 50T在經過 1300°C /6hr/Ar熱處理後(a)TiO與t-ZrO<sub>2-x</sub>之明視野影像 (BFI);(b) t-ZrO<sub>2-x</sub>之EDS分析光譜;(c)t-ZrO<sub>2-x</sub>之SADP, Z. A. =[111]。

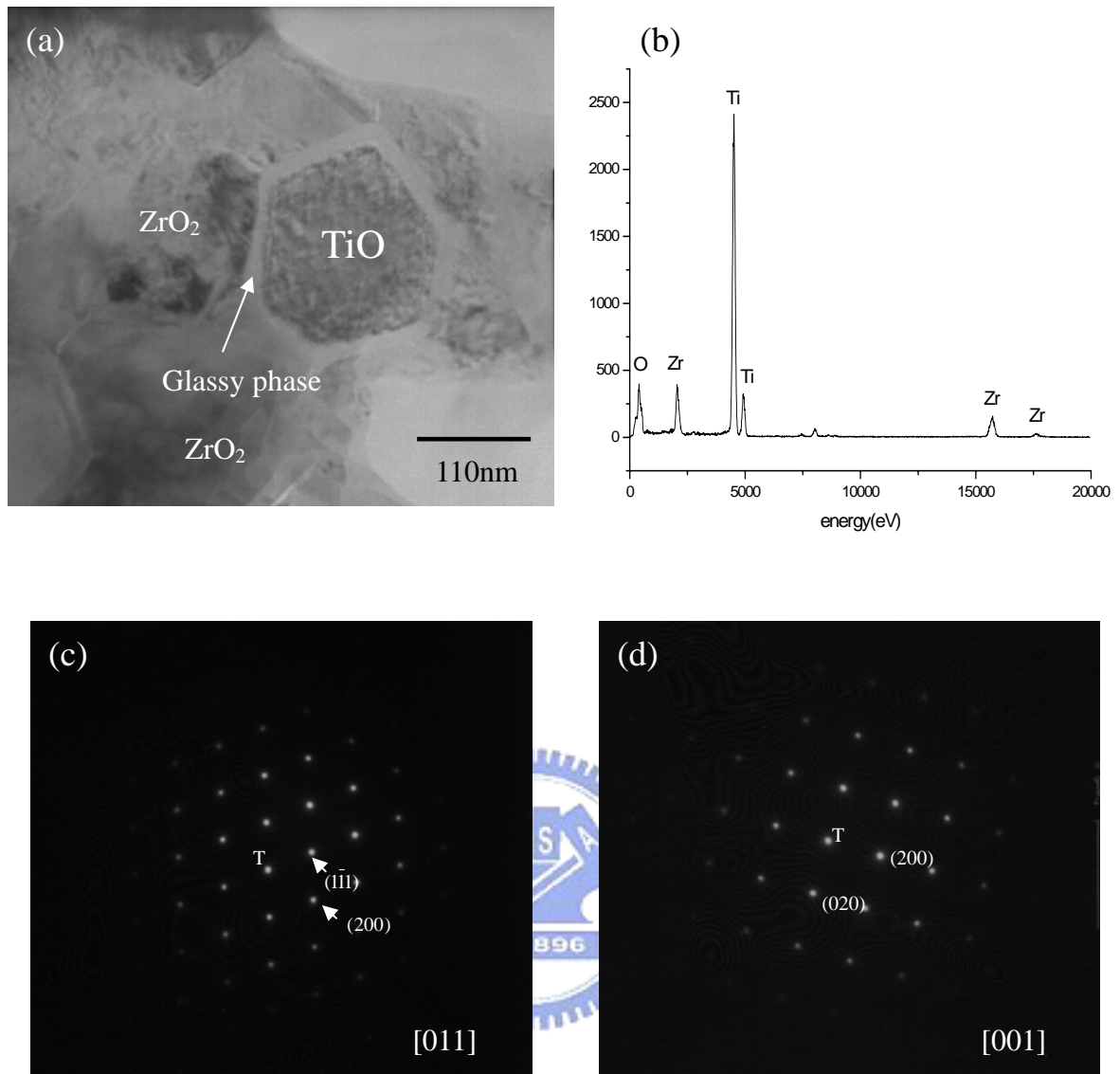


Fig. 4-28 50T 在經過 1300°C/6hr/Ar 熱處理後(a)TiO 與其周圍之玻璃相之明視野影像(BFI);(b)TiO 之 EDS 分析光譜;(c)TiO 之 SADP, Z. A. =[011];(d)TiO 之 SADP, Z. A. =[001]。

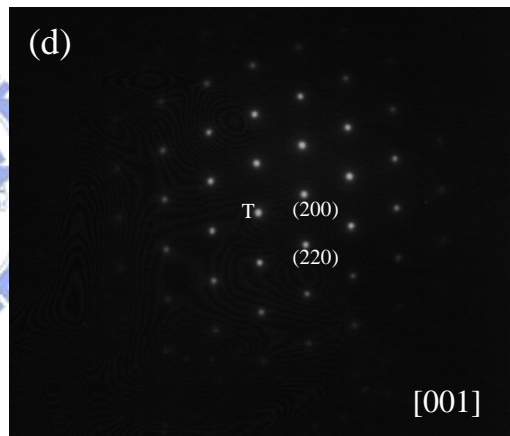
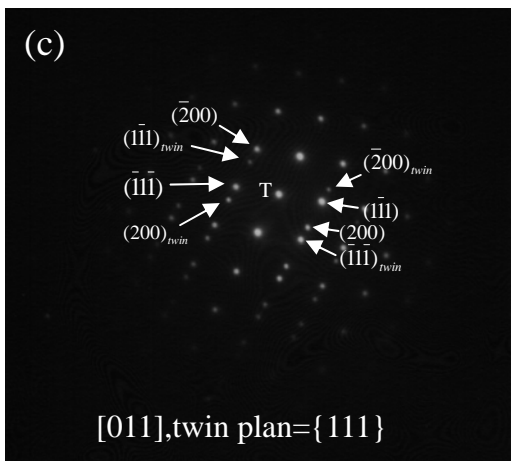
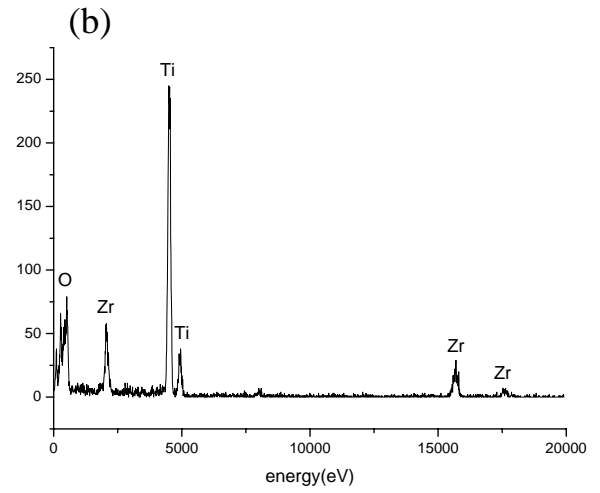
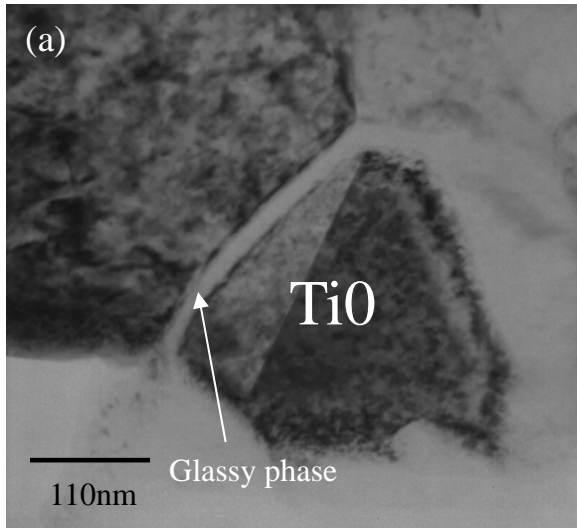


Fig. 4-29 50T 在經過 1300°C/6hr/Ar 熱處理後(a)TiO<sub>2</sub> 雙晶與其周圍玻璃相之明視野影像(BFI);(b)TiO<sub>2</sub> 之 EDS 分析光譜;(c)TiO<sub>2</sub> 之 SADP, Z. A. =[011], twin plane={111};(d) TiO<sub>2</sub> 之 SADP, Z. A. =[001]。

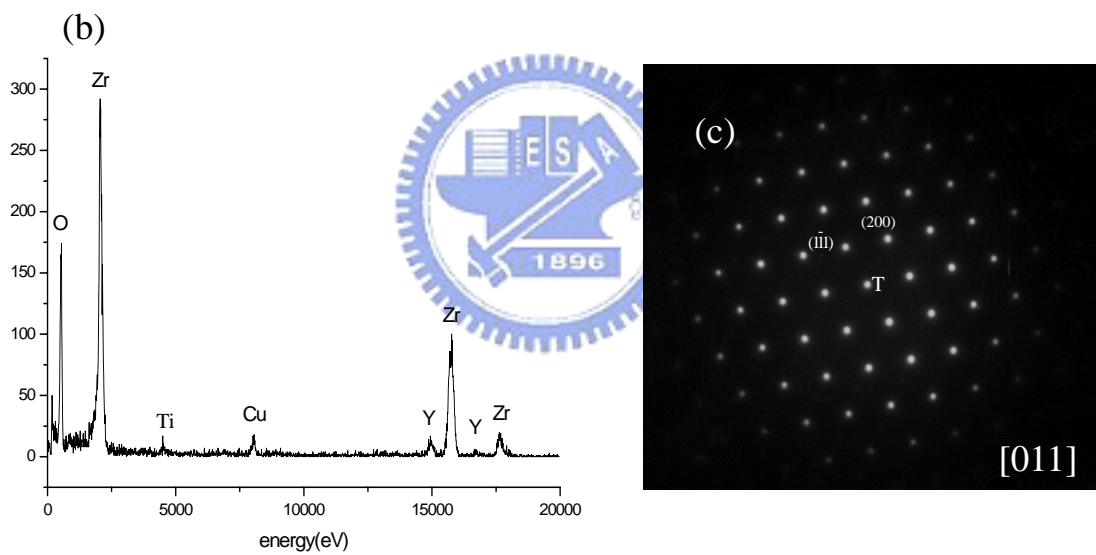
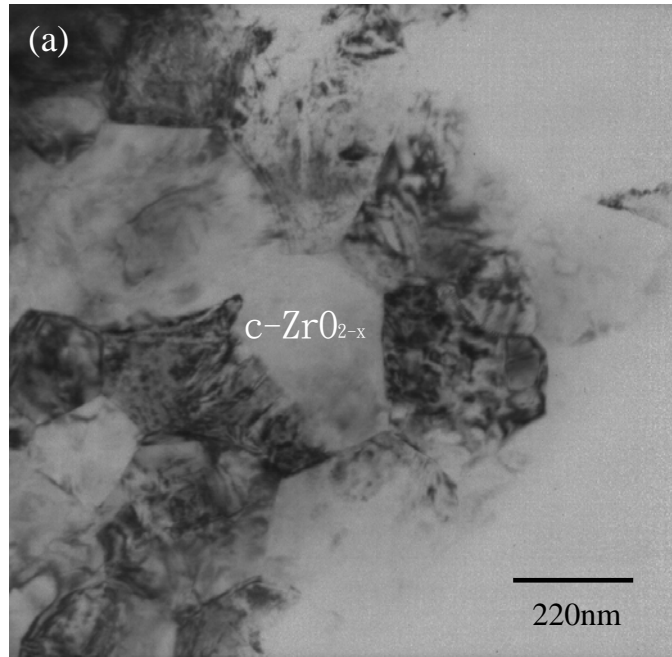


Fig. 4-30 5T在經過  $1500^{\circ}\text{C}/6\text{hr}/\text{Ar}$ 熱處理後(a) $c\text{-ZrO}_2$ 之明視野影像 (BFI);(b)  $c\text{-ZrO}_2$ 之EDS分析光譜;(c)  $c\text{-ZrO}_{2-x}$ 之SADP, Z. A. = [011]。